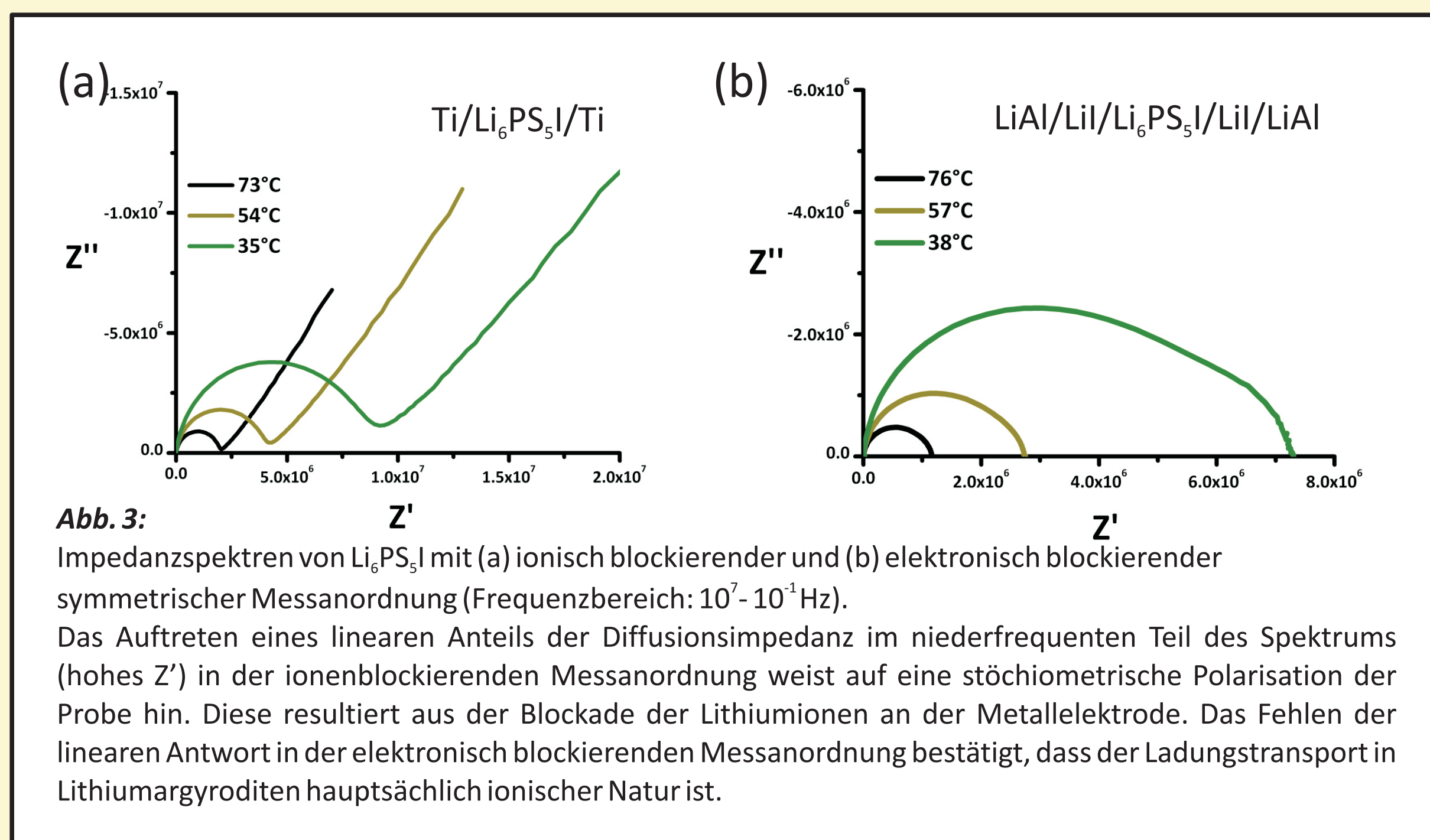
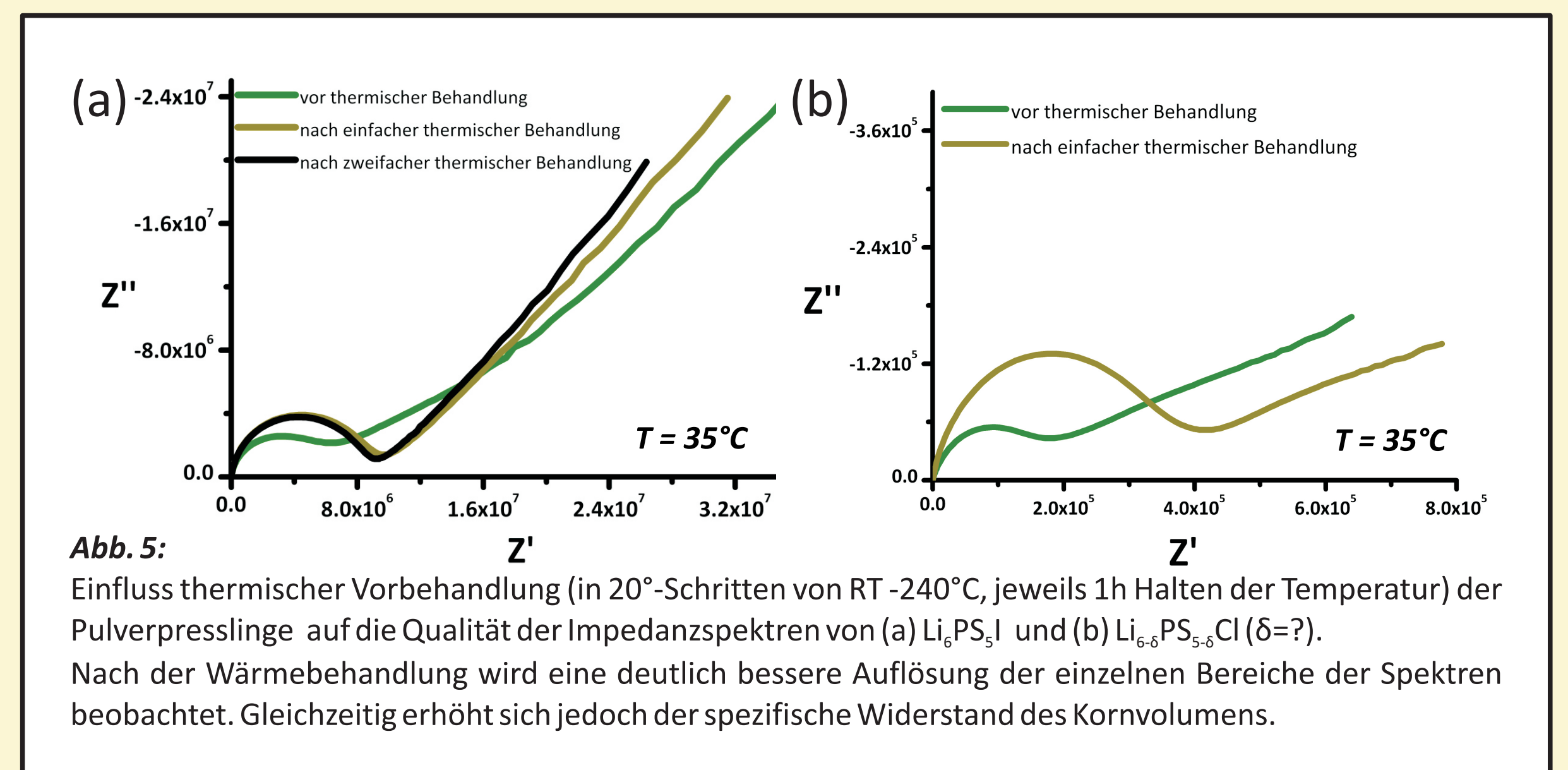
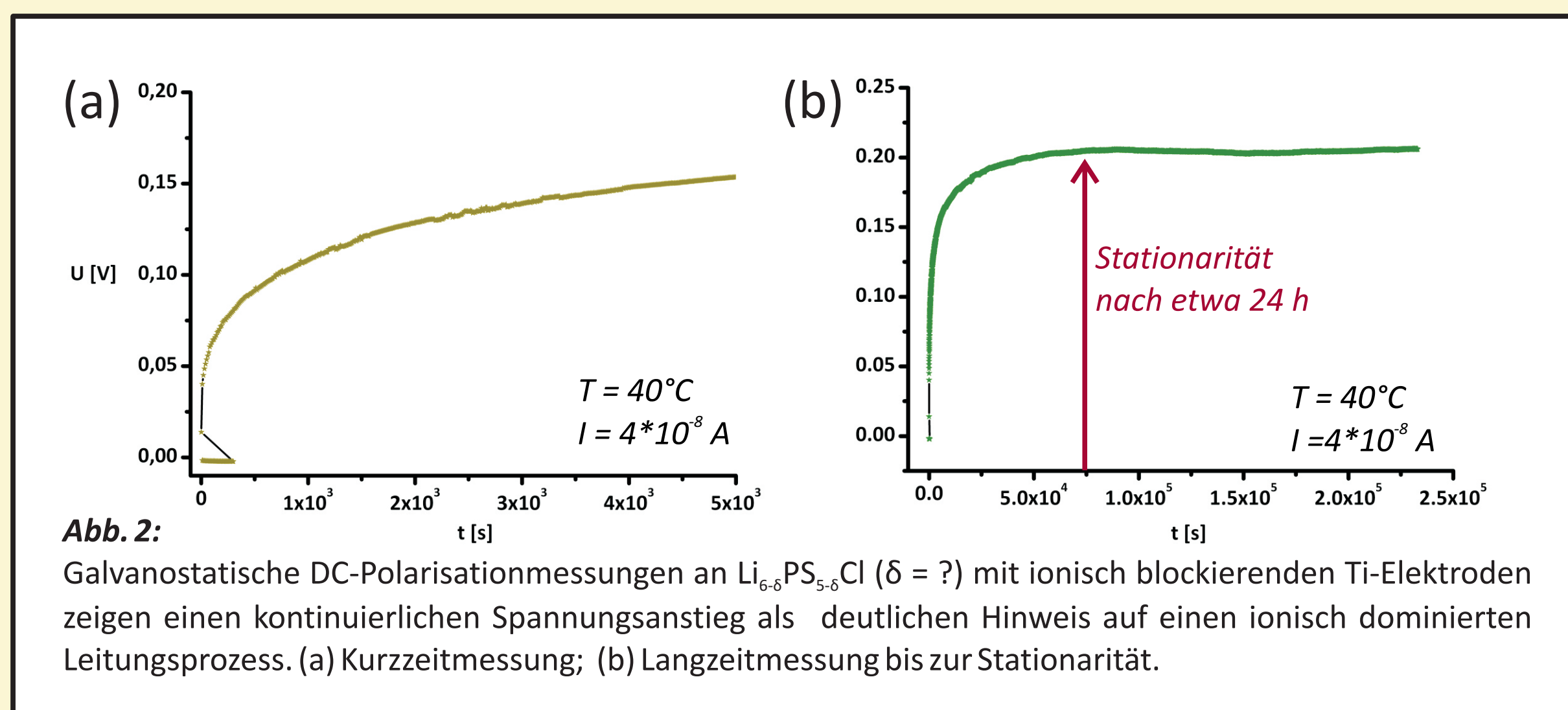
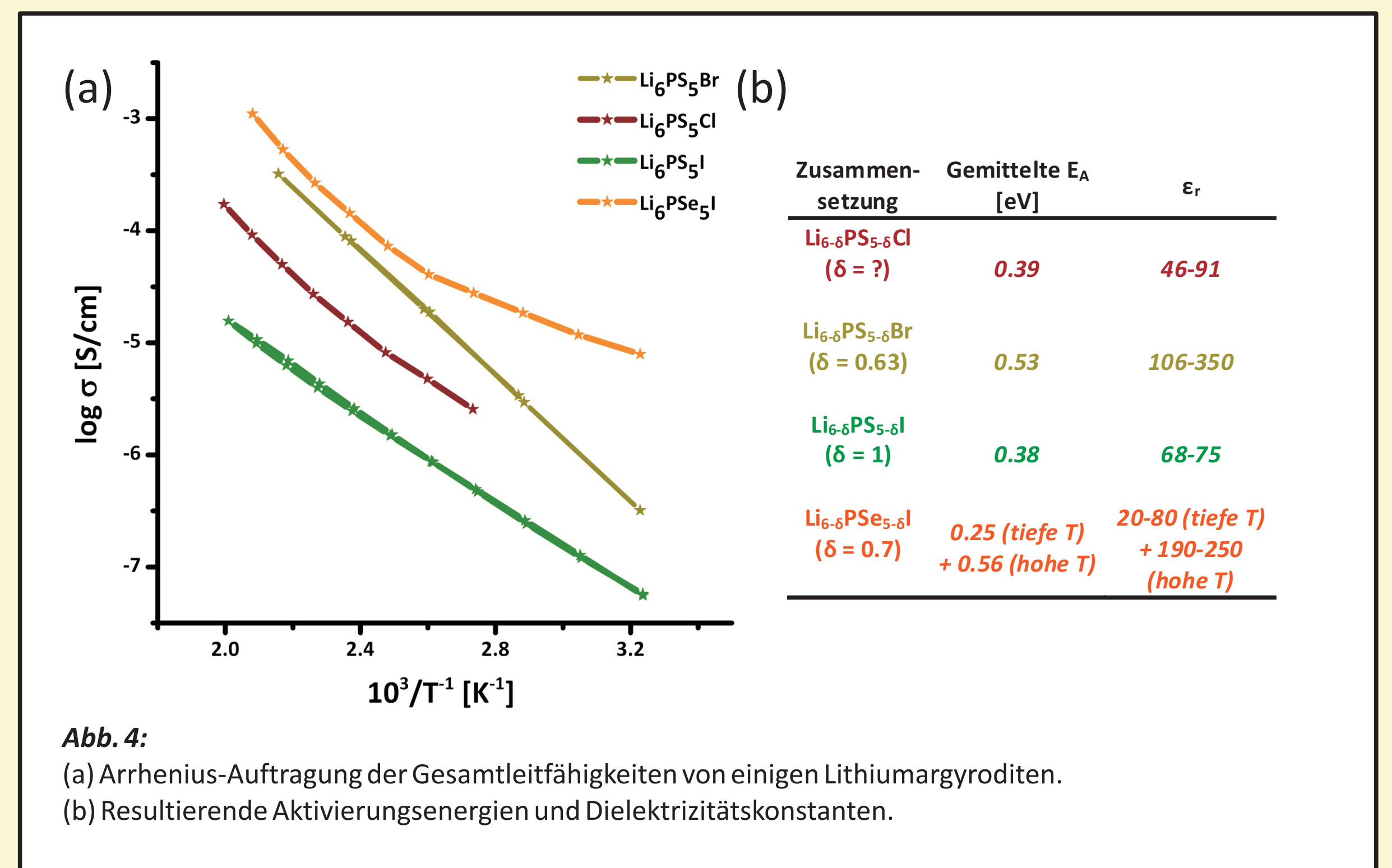
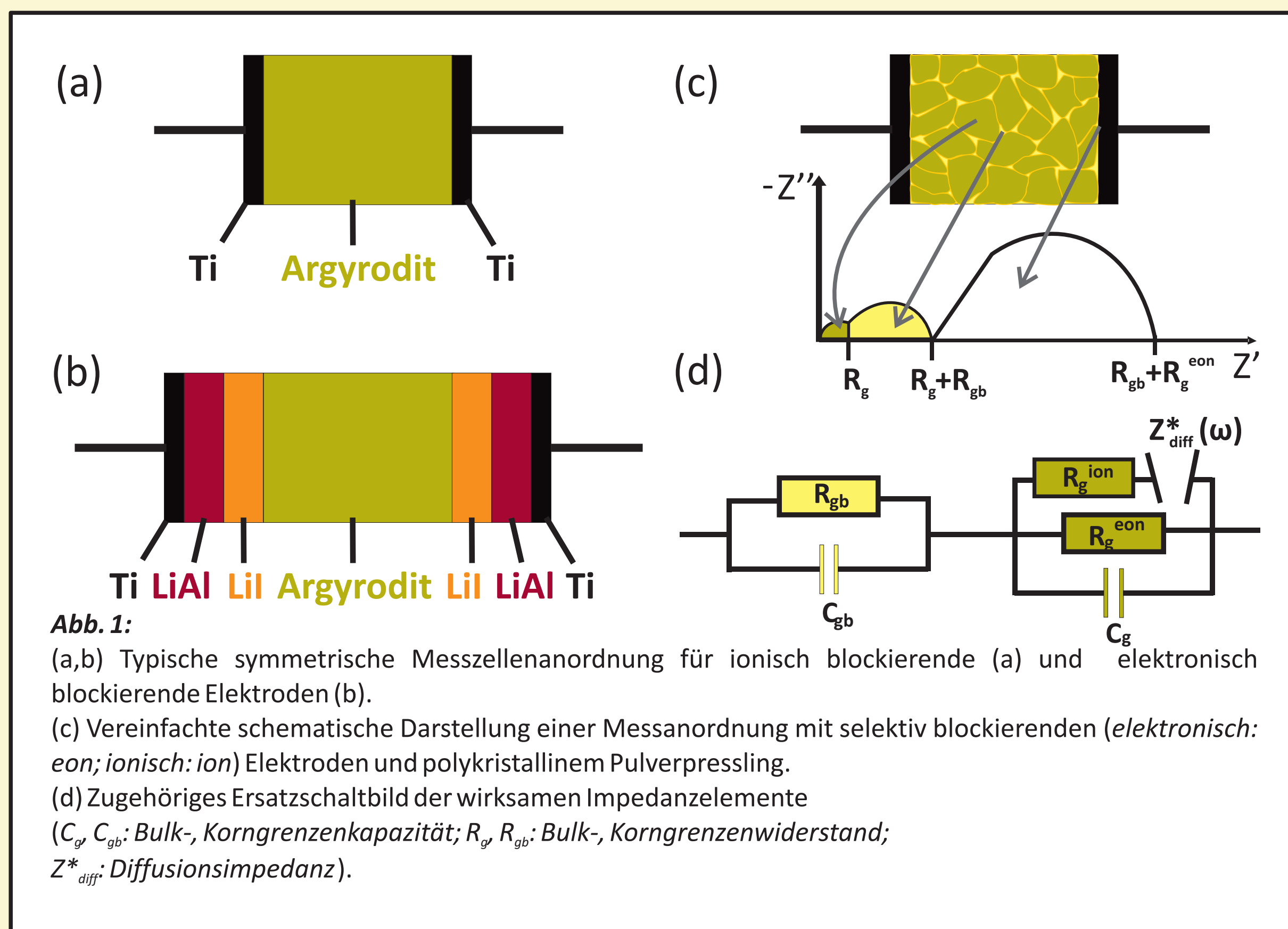


Einleitung:

Die neuen lithiumhaltigen Verbindungen der Argyroditfamilie mit den Zusammensetzungen $\text{Li}_{7-8}\text{PS}_{6-6}\text{X}_6$ ($\text{X} = \text{Cl}$: $\delta = ?$; $\text{X} = \text{Br}$: $\delta = 0.63$; $\text{X} = \text{I}$: $\delta = 1$)^[1] und $\text{Li}_{7-8}\text{PSe}_{6-6}\text{X}_6$ ($\text{X} = \text{Cl}$: $\delta = 0.31$; $\text{X} = \text{Br}$: $\delta = ?$; $\text{X} = \text{I}$: $\delta = 0.7$) kristallisieren in der kubischen Hochtemperaturmodifikation der Argyrodite in der Raumgruppe $F\bar{4}3m$. Da die silber- und kupferhaltigen Argyrodite dieses Strukturtyps gute Ag- und Cu- Ionenleitfähigkeiten zeigen^[2,3], wurden auch für die hier vorgestellten Argyrodite Untersuchungen hinsichtlich der Li-Ionenbeweglichkeit durchgeführt. ⁷Li-NMR- Messungen an $\text{Li}_{7-8}\text{PS}_{6-6}\text{X}_6$ und $\text{Li}_{7-8}\text{PSe}_{6-6}\text{X}_6$ ($\text{X} = \text{Cl}, \text{Br}, \text{I}$) belegen auch für diese Verbindungen eine hohe Mobilität der Li-Ionen.^[1] Zur Klärung der Frage, ob diese Mobilität nur lokal begrenzt oder auch dreidimensional ausgeprägt ist, wurden impedanzspektroskopische Messungen durchgeführt.



Zusammensetzung	σ_{tot} (AC) [S/cm]	σ_{ion} (DC-Polarisation) [S/cm]	σ_{eon} (DC-Polarisation) [S/cm]
$\text{Li}_{6-6}\text{PS}_{5-6}\text{Cl}$ ($\delta = ?$)	$3 \cdot 10^7$	$2.1 \cdot 10^8$	-
$\text{Li}_{6-6}\text{PS}_{5-6}\text{Br}$ ($\delta = 0.63$)	$2 \cdot 10^8$	-	-
$\text{Li}_{6-6}\text{PS}_{5-6}\text{I}$ ($\delta = 1$)	$3.5 \cdot 10^7$	-	$1 \cdot 10^7$
$\text{Li}_{6-6}\text{PSe}_{5-6}\text{I}$ ($\delta = 0.7$)	$9.2 \cdot 10^6$	$3.4 \cdot 10^{10}$	-

Tab. 1:
 Übersicht über vorläufige Ergebnisse betreffend Gesamtleitfähigkeit, elektronischer und ionischer Teilleitfähigkeit von einigen Lithiumargyroditen (alle Werte für $T=40^\circ\text{C}$).

Probenpräparation:

Alle präparativen Arbeiten wurden aufgrund der hohen Hydrolyseempfindlichkeit der untersuchten Verbindungen unter Argon-Atmosphäre in einer Handschuhbox durchgeführt. Aus sorgfältig gemörserten Proben wurden in Pressformen aus gehärtetem Stahl (Anpressdruck Sulfide: 20kN, Selenide: 15 kN) zylindrische Pulverpresslinge hergestellt (Durchmesser $\varnothing = 10$ mm, Dicke $l = 0.5 - 3$ mm). Bei den Messungen von $\text{Li}_{6-6}\text{PS}_{5-6}\text{Br}$ ($\delta = 0.63$) wurde zur Verbesserung des Kontaktes zwischen Probe und Elektrode Pt-Paste auf die Kontaktflächen des Pulverpresslings aufgebracht. Zur Gefugedichte wurden einige Presslinge thermisch vorbehandelt (vgl. Abb. 5). Dazu wurde die Probe in der impedanzspektroskopischen Messapparatur vor der eigentlichen Impedanzmessung einer Wärmebehandlung

Zusammenfassung:

Erste impedanzspektroskopische Messungen mit elektronisch oder ionisch blockierenden Elektroden an lithiumhaltigen Argyroditen erbrachten deutliche Hinweise auf einen ionisch dominierten Leitfähigkeitsprozess. Die Aktivierungsenergien betragen für die Leitung durch das Kornvolumen 0.25 - 0.40 eV. Eine Leitung entlang der Korngrenzen erfordert deutlich höhere Aktivierungsenergien (0.53 - 0.56 eV). Die bisher ermittelten (vorläufigen) Leitfähigkeiten liegen im Bereich von $10^{-8} - 10^{-5}$ S/cm.

Literatur und Danksagung:

[1] H.J. Deiseroth, S.T. Kong, H. Eckert, J. Vannahme, C. Reiner, T. Zaiß, M. Schlosser, *Angew. Chem.* **2008**, *120*, 767-770; [2] W.F. Kuhs, R. Nitsche, K. Scheunemann, *Mat. Res. Bul.* **1979**, *14*, 241-248; [3] R.B. Beeken, J.J. Garbe, J.M. Gillis, N.R. Petersen, B.W. Podoll, M.R. Stoneman, *Phys. Chem. Sol.* **2005**, *66*, 882-886.